

有限領域内の集水暗きよによる取水量について
(並列2集水暗きよの場合)

九大 工学部 正員 上田年比古

・ ○杉尾 哲

1. まえがき

本報は、地表面を湛水で被われた、水平方向に長い帯状の均等な浸透領域に、等条件の円形暗きよが並列して2個ある場合の暗きよ取水量の算定式を求め、さらに多くの暗きよがある場合の、総取水量の算定方法について述べたものである。実際の浸透領域の大部分は、暗きよの下方に不透水層とみなせる地盤が存在するので、半無限浸透領域の取水量算定式よりも実用的であると考えられる。

2. 領域の写像

水平方向に長い帯状の領域に、等条件の円形暗きよが2個ある場合の1個の暗きよに対する領域境界線は、2個の暗きよの中央線と不透水層の線（これは一つの流線）と地表面（等ポテンシャル線）である。したがって両暗きよの中間線を実軸、地表面を虚軸として、この帯状領域を半無限領域に写像すると、半無限領域に円形暗きよが2個あることになる。ここに半無限領域内の円形暗きよと地表面との間のポテンシ

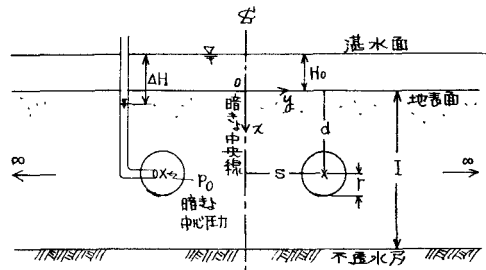


図-1 帯状浸透領域 (Z-平面)

ヤル流は、無限大領域に流入し、流出点は2個ずつある場合のポテン

シャル流と同じものであり、その複素ポテンシャルの式は次式で与えられている。

$$W = \Phi + i\psi = \mu \sum_{n=1}^{\infty} \ln \frac{Z - Z_n}{Z - \bar{Z}_n} + u' \quad \text{--- (1)}$$

したがって、帯状領域と半無限領域との間の写像関数を求めれば、

式(1)を使って帯状領域における地表面と円形暗きよとの間の流れ

の複素ポテンシャルの式が求められる。すなわち、図-2のように、

与えられた帯状領域(ACDE)の2倍の厚さの帯状領域(ACFG)を考え、Z軸と不透水層との交点Bを無限大領域のB'点へ写像するもの

とすれば、この写像関数は、Schwarz-Christoffelの定理より

$$Z = M \int_0^z \frac{dz}{\sqrt{\alpha^2 - z^2}} = M \cdot \sin^{-1} \frac{z}{\alpha} \quad \text{--- (2)}$$

= = = M は実係数

$$\therefore Z = \alpha \cdot \sin(\theta/M) \quad \text{--- (2)}$$

式(2)を式(1)に代入すると求める複素

ポテンシャルの式は

$$W = \mu \sum_{n=1}^{\infty} \frac{\sin(\theta_n/M) - \sin(\phi_n/M)}{\sin(\theta_n/M) + \sin(\phi_n/M)} + u \quad \text{--- (3)}$$

ここで、式(3)は式(2)の係数が分子、分子で消去できるから、ポテンシャルの値を求めるときに關しては、 α の値を求める必要はない、逆にいえば、 α の値は自由に選んでよいことになる。

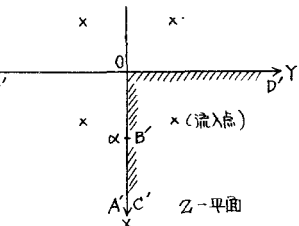
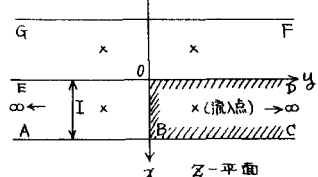


図-2 領域の写像

一方、Mの値は、Z-平面のB点(Z=a)がz-平面のB点(z=I)と対応する時に、式-(2)より
 $1/M = \pi/2I$ — (4) でなければならない。

3. Φ ; 出の式

速度ポテンシャルと流れ関数中はそれぞれ複素ポテンシャルの式の実数部、虚数部で与えられる。
 いま、流入、流出点の座標を $(\pm a, \pm bi)$ として、

$$\sin \frac{Za}{M} = \sin \frac{x}{M} \cosh \frac{y}{M} + i \cos \frac{x}{M} \sinh \frac{y}{M} = \operatorname{Re}(\sin \frac{Za}{M}) + i \operatorname{Im}(\sin \frac{Za}{M}) \quad — (5)$$

Re は Real Part, Im は Imaginary Part である。

を使って式-(3)の実数部と虚数部にわけると、

$$\begin{aligned} \Phi &= \frac{\mu}{2} \left\{ \ln \frac{\left[\operatorname{Re}(\sin \frac{Za}{M}) - \operatorname{Re}(\sin \frac{Za}{M}) \right]^2 + \left[\operatorname{Im}(\sin \frac{Za}{M}) - \operatorname{Im}(\sin \frac{Za}{M}) \right]^2}{\left[\operatorname{Re}(\sin \frac{Za}{M}) + \operatorname{Re}(\sin \frac{Za}{M}) \right]^2 + \left[\operatorname{Im}(\sin \frac{Za}{M}) - \operatorname{Im}(\sin \frac{Za}{M}) \right]^2} \right. \\ &\quad \left. + \ln \frac{\left[\operatorname{Re}(\sin \frac{Za}{M}) - \operatorname{Re}(\sin \frac{Za}{M}) \right]^2 + \left[\operatorname{Im}(\sin \frac{Za}{M}) + \operatorname{Im}(\sin \frac{Za}{M}) \right]^2}{\left[\operatorname{Re}(\sin \frac{Za}{M}) + \operatorname{Re}(\sin \frac{Za}{M}) \right]^2 + \left[\operatorname{Im}(\sin \frac{Za}{M}) + \operatorname{Im}(\sin \frac{Za}{M}) \right]^2} \right\} + \mu' \quad — (6) \end{aligned}$$

$$\begin{aligned} \Psi &= \mu \left\{ \tan^{-1} \frac{2 \operatorname{Re}(\sin \frac{Za}{M}) \left[\operatorname{Im}(\sin \frac{Za}{M}) - \operatorname{Im}(\sin \frac{Za}{M}) \right]}{\left[\operatorname{Re}(\sin \frac{Za}{M}) \right]^2 - \left[\operatorname{Re}(\sin \frac{Za}{M}) \right]^2 + \left[\operatorname{Im}(\sin \frac{Za}{M}) - \operatorname{Im}(\sin \frac{Za}{M}) \right]^2} \right. \\ &\quad \left. + \tan^{-1} \frac{2 \operatorname{Re}(\sin \frac{Za}{M}) \left[\operatorname{Im}(\sin \frac{Za}{M}) + \operatorname{Im}(\sin \frac{Za}{M}) \right]}{\left[\operatorname{Re}(\sin \frac{Za}{M}) \right]^2 - \left[\operatorname{Re}(\sin \frac{Za}{M}) \right]^2 + \left[\operatorname{Im}(\sin \frac{Za}{M}) + \operatorname{Im}(\sin \frac{Za}{M}) \right]^2} \right\} \quad — (7) \end{aligned}$$

ここで $Za = a + ib$, $Za' = -a + bi$ で、両者の間には

$$\operatorname{Re}(\sin \frac{Za}{M}) = -\operatorname{Re}(\sin \frac{Za'}{M}) \quad \operatorname{Im}(\sin \frac{Za}{M}) = \operatorname{Im}(\sin \frac{Za'}{M})$$

が成り立つ。

次に係数 μ および定数 μ' の値を求める。いま $y \geq 0$ だけの領域で y 軸を通過する流量を q とおくと、

$$\begin{aligned} q &= - \int_0^\infty \left(\frac{\partial \Phi}{\partial x} \right)_{x=0} dy = 2\mu \cdot \operatorname{Re}(\sin \frac{Za}{M}) \left\{ \int_0^\infty \frac{1/M \cdot \cosh \frac{y}{M} \cdot dy}{\left[\operatorname{Re}(\sin \frac{Za}{M}) \right]^2 + \left[\sinh \frac{y}{M} - \operatorname{Im}(\sin \frac{Za}{M}) \right]^2} \right. \\ &\quad \left. + \int_0^\infty \frac{1/M \cdot \cosh \frac{y}{M} \cdot dy}{\left[\operatorname{Re}(\sin \frac{Za}{M}) \right]^2 + \left[\sinh \frac{y}{M} + \operatorname{Im}(\sin \frac{Za}{M}) \right]^2} \right\} \quad — (8) \end{aligned}$$

$$z = z' \quad \sinh \frac{y}{M} = t \quad \text{とおくと} \quad 1/M \cdot \cosh \frac{y}{M} dy = dt \quad (t = 0 \rightarrow z')$$

$$q = 2\mu C \left\{ \int_0^\infty \frac{dt}{C^2 + (t - C')^2} + \int_0^\infty \frac{dt}{C^2 + (t + C')^2} \right\}, \quad z = z' \quad C = \operatorname{Re}(\sin \frac{Za}{M}), C' = \operatorname{Im}(\sin \frac{Za}{M})$$

$$(t = 0 \rightarrow z') \quad q = 2\pi\mu. \quad \therefore \mu = q/2\pi \quad — (9)$$

$$\text{また}, x=0 \text{ のとき式-(6)は } \Phi = \mu' \quad \text{一方}, \Phi = k_0 \{ (p/\omega) - x \} \quad — (10)$$

より地表面 ($x=0$) の速度ポテンシャルは地表面上の湛水深を h_0 とすると $\Phi = k_0 h_0$ $\therefore \mu' = k_0 h_0$ — (11)

4. 流入点の位置 a, b

次に a, b の値を求めるために、条件式として

$$\Phi_{(x=d-r, y=s)} = \Phi_{(x=d+r, y=s)} \quad — (12), \quad \Phi_{(x=d, y=s-r)} = \Phi_{(x=d, y=s+r)} \quad — (13)$$

の2式を与える。計算手法は半無限領域に2個の暗きよがある場合と同じである。

この計算により式-(12), (13)を満足する a, b の値は求まるが、これらは一概に

$$\Phi_{(x=d-r, y=s)} = \Phi_{(x=d, y=s-r)} \quad \text{を満足しない}。すなはち いくつかの計算結果によると、$$

暗きよ周壁上下端に対応する2点 ($x = d+r, y=s$) では $(k_{ho}-\Phi)/(k_{oH}) = 1.0$ であるのに對し、周壁左右端に相当する2点 ($x=d, y=s\pm r$) の $(k_{ho}-\Phi)/(k_{oH})$ は 1.0 とならぬ。いま、 $x=d$ で $(k_{ho}-\Phi)/(k_{oH}) = 1.0$ となる y の位置の円との相連を求めてみると、表-1のようになる。すなわち、円形暗きよ周壁に相当する $(k_{ho}-\Phi)/(k_{oH}) = 1.0$ の等ボテンシャル線は円ではなく、いくぶん絶縁形であることがわかる。

5. 流線網。

速度ボテンシャルおよび流れ関数がどのように分布しているかを知るために $I=1, S/I=1.0, d/I=0.5, r/I=0.1$ の流線網を求めて図-3に示してある。

r/I	0.05	0.1	0.15	0.2	0.25	0.3
0.5	99.2, 99.3	96.9, 97.6	93.3, 95.3	88.4, 92.8	82.5, 90.2	75.7, 87.8
1.0	99.4, 99.4	97.7, 97.8	95.1, 95.4	91.6, 92.3	87.5, 88.8	83.0, 85.0
1.5	99.4, 99.4	97.9, 97.9	95.5, 95.5	92.4, 92.5	88.7, 89.0	

* : 暗きよ中心より中央線側
S: 暗きよ中心の y 座標
** : 暗きよ中心より中央線の反対側

表-1. $d/I=0.5$ の時の $[S - y(\Phi_{ho}-\Phi)/k_{oH} = 1.0)]/r$ の百分率

なお図中の等ボテンシャル線の數値は $(k_{ho}-\Phi)/(k_{oH})$ を、流線の數値は y/g をあらわす。この場合の等ボテンシャル線および流線の形状は、暗きよより中央線側では長方形領域に暗きよが 1 個ある場合と、また暗きよより中央線の反対側では水平方向に無限大の領域に暗きよが 1 個ある場合と非常によく似ている。次に地表面において $y/g = 1.0$ における流線の位置を求めてみると、 $y=3.43 I$ で $y/g = 0.99, y=3.875 I$ で $0.995, y=5.0 I$ で 0.9999 となつてある。したがって、 $y=4.0 I \sim 5.0 I$ の箇所に不透水性板を置くとも、先に求めた y 軸を通過する流量 q はほとんど変化しないものと考えられる。なおこの位置は暗きよの間隔 ($2S$) によって多少移動するることは明らかであろう。このことから、電気モデルなどによって、実験的に流量を求める場合に、縦方向の長さに比較して横方向の長さがある程度大きければ、実験結果を横方向に無限の場合の解とみはすことができる。

6. 取水量算定式

暗きよ中心の圧力が p_c の被圧水で円形暗きよ内が満たされている場合暗きよ内は

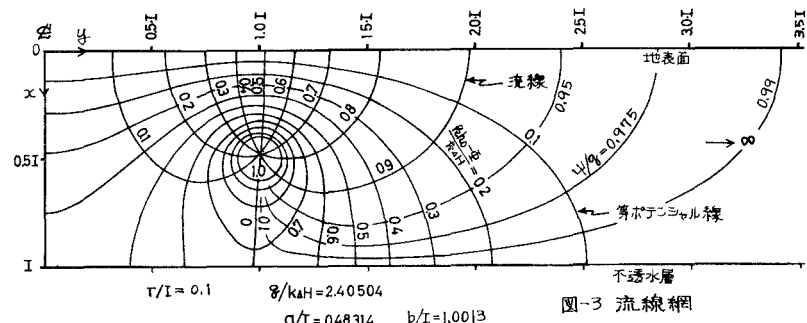
$$\Phi = k_o \{ (p_c/w) - d \}$$


図-3 流線網

となり、暗きよ周壁上端においてもこの値をとる。したがって式-(6)より次式をうる。

$$q = 4\pi k_o \{ h_0 + d - (p_c/w) \} / \ln(B) \quad (14)$$

$$B = \frac{\left[\sin \frac{\pi(c-d)}{2I} \cosh \frac{\pi c}{2I} + \sin \frac{\pi a}{2I} \cosh \frac{\pi b}{2I} \right]^2 + \left[\cos \frac{\pi(c-d)}{2I} \sinh \frac{\pi c}{2I} - \cos \frac{\pi a}{2I} \sinh \frac{\pi b}{2I} \right]^2}{\left[\sin \frac{\pi(c+d)}{2I} \cosh \frac{\pi c}{2I} - \sin \frac{\pi a}{2I} \cosh \frac{\pi b}{2I} \right]^2 + \left[\cos \frac{\pi(c+d)}{2I} \sinh \frac{\pi c}{2I} - \cos \frac{\pi a}{2I} \sinh \frac{\pi b}{2I} \right]^2} \\ \times \frac{\left[\sin \frac{\pi(c-d)}{2I} \cosh \frac{\pi c}{2I} + \sin \frac{\pi a}{2I} \cosh \frac{\pi b}{2I} \right]^2 + \left[\cos \frac{\pi(c-d)}{2I} \sinh \frac{\pi c}{2I} + \cos \frac{\pi a}{2I} \sinh \frac{\pi b}{2I} \right]^2}{\left[\sin \frac{\pi(c+d)}{2I} \cosh \frac{\pi c}{2I} - \sin \frac{\pi a}{2I} \cosh \frac{\pi b}{2I} \right]^2 + \left[\cos \frac{\pi(c+d)}{2I} \sinh \frac{\pi c}{2I} + \cos \frac{\pi a}{2I} \sinh \frac{\pi b}{2I} \right]^2}$$

この式-(14)が水平方向に長い帯状領域に円形暗きよが 2 個ある場合の、暗きよ 1 個当たりの取水量の

算定式である。ただし、先にものべたように、円形暗きょの周壁に相当する $(f_{ho}-\bar{h})/(R\Delta H) = 1.0$ の等ポテンシャル線が円ではなくから式(14)は厳密解ではなく、この等ポテンシャル線を円とみなし近似解である。

7. 取水量算定結果

$d/I = 0.5$ としたときの算定結果を図-4に示す。この図から明らかなように、 \bar{h} を一定としておき、暗きょ間隔を拡げるごとに、いくぶん取水量は増加するけれども、この傾向は暗きょ間隔が小さい場合に大きく、 $S/I > 1.5$ ではほとんど無視できるほどに小さくなる。次に表-1から $(f_{ho}-\bar{h})/(R\Delta H) = 1.0$ の等ポテンシャル線は、 r/I が小さいほど円に近づくので、算定結果も厳密解に近づくと考えられる。これに対し、 r/I が大きいと等像の影響が大きくあらわれて、 S/I を大きくしても $(f_{ho}-\bar{h})/(R\Delta H) = 1.0$ の等ポテンシャル線は円にはならない。この点が、半無限領域に暗きょが2個ある場合と異なる。

8. 多並列の場合への適用

図-5のように有限個の暗きょが等間隔に並列してあるとき、それぞれの暗きょの中央線（点線）が暗きょの浸透領域を区分する流線

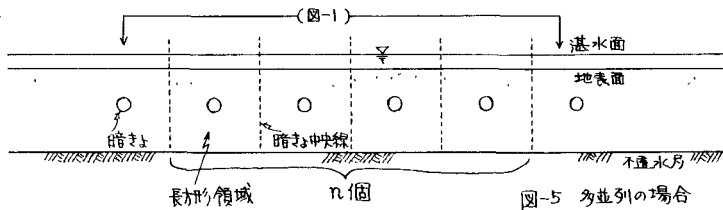


図-5 多並列の場合

と完全に一致するかどうかに疑問は残るが、ここで近似的に一致するものとすると、この流線に挟まれた領域を単位として、それぞれの暗きょは互に全く独立のものとして考えることができ、したがって、個々の暗きょの取水量を単独に求めることができます。とくに両端2個の暗きょによる取水は、これらの暗きょより、それぞれ1個内側の暗きょとの中央線が直接に接触した状態、すなわち、この2つの中央線に挟まれた内側の浸透領域が2個のものとした場合を考えれば本報で解析した図-1の領域と全く同じものと考えられるから、両端2個による取水量はそれより式(14)より算出される。また、それより内側にある n 個の暗きょによる取水量は、長方形浸透領域の中心軸上に円形暗きょが1個ある場合について求めた算定式*

$$g_R = \frac{2\pi R \{ h_0 + d - (P_e/w) \}}{\ln \frac{\sqrt{m \{ K(m) \cdot (d+r)/I, m \}} + \sqrt{m \{ K(m) \cdot (d-r)/I, m \}}}{\sqrt{m \{ K(m) \cdot (d+r)/I, m \}} - \sqrt{m \{ K(m) \cdot (d-r)/I, m \}}}} \quad (15)$$

$m = I = K(m)$ は第一種完全積分積分、 $m \{ \cdot, m \}$ は Jacobi の積分関数、 m^2 は因数を使えば算出できる。したがって総取水量は $Q = 2 \cdot g_f + n \cdot g_R$ で与えられる。この式(16)を用いて計算結果は講演前に述べる。

なお本研究は昭和44年度文部省科学研究費の補助をうけた。ここに記して謝意を表す。

*上田、杉尾：集水暗きょの取水量の解析、昭和42年度西部支部分科発表会論文集、P.155。

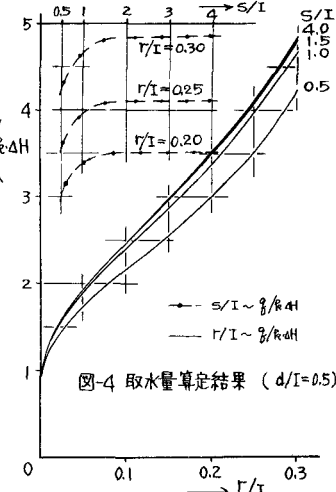


図-4 取水量算定結果 ($d/I=0.5$)